

Klimat- historia	Proxy- metoder	Atmosfär	Fotosyntes
Växthus- effekt	Albedo	Återkoppling (Feedback)	Kolets kretslopp
Växthus- gaser	Aerosoler	Isborrhärnor	Cellandning
Antropogen	Energi- budget	Dendro- kronologi	Trädringar

Grönlandsis	Arkimedes princip	Försurning	Torvmossar
Klimat-anpassning	Fossila bränslen	Klimat-scenarier	Koraller
Energi-effektivisering	Koldioxid-infångning	Klimat-historia	Syreisotoper δO_{18} , δO_{18}
Fas-övergångar	Latent värme	Antropocen	Havsnivå-höjning

Stefan-Boltzmanns lag

$$\frac{P}{A} = e\sigma T^4$$

$$\sigma = 5.6703 \times 10^{-8} \text{ W/m}^2\text{K}^4$$

Plancks strålningslag

$$S(\lambda) = \frac{2\pi c^2 h}{\lambda^5} \frac{1}{e^{\frac{hc}{\lambda kT}} - 1}$$

Wiens förskjutningslag

$$\lambda_{max} = 2.898 \times 10^{-3} \text{ mK}$$

Absorption av långvågig strålning

Värme-strålning

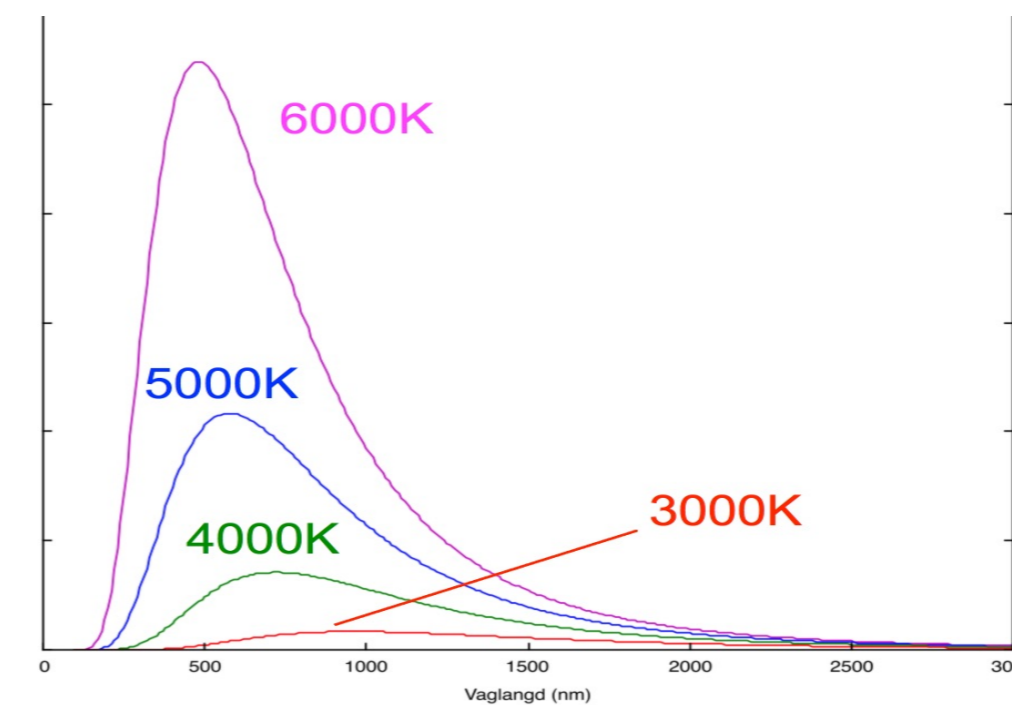
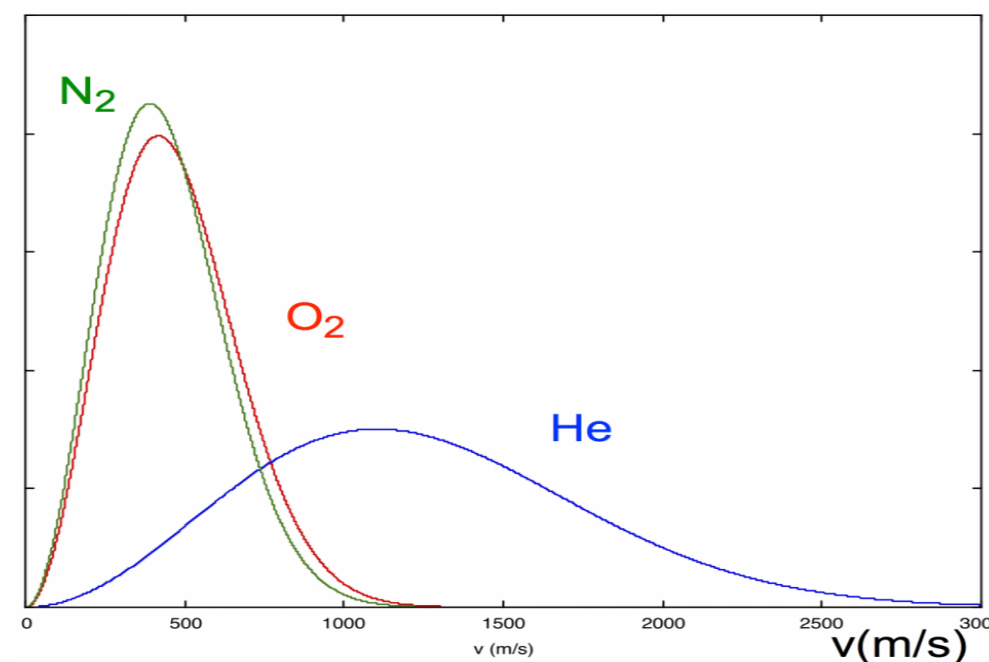
Solar-konstanten
 $S = 1368 \text{ kW/m}^2$

Strålnings-balans

Avstånd Planet – solen
 D

Maxwell-fördelning

$$v_{rms} = \sqrt{\frac{3RT}{M}}$$

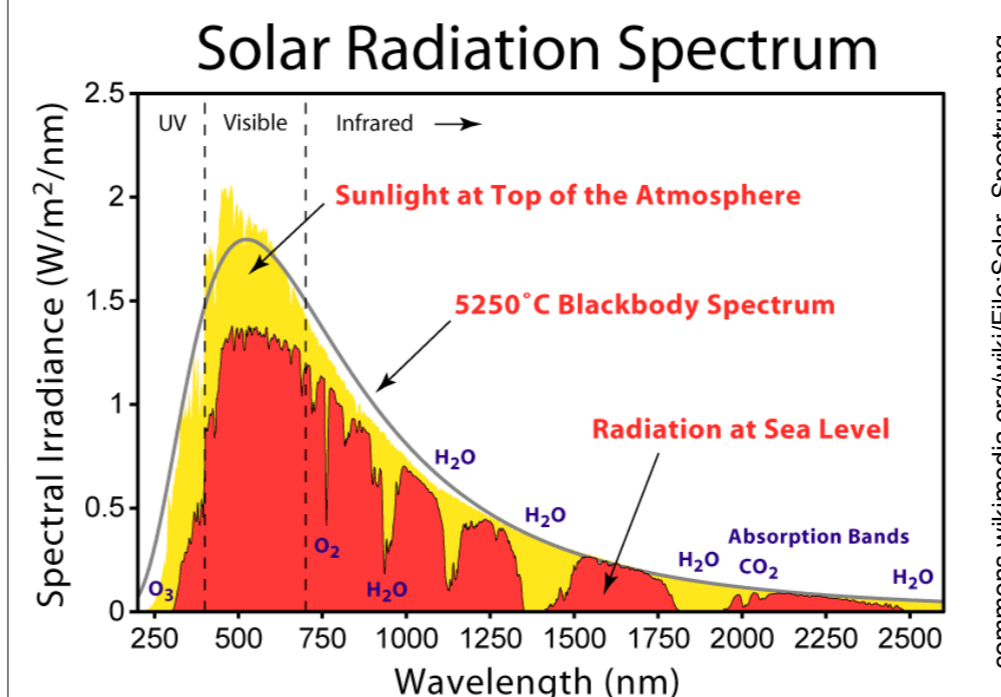


Solens diameter
 d

Ideala gaslagen

$$pV = nRT$$

Flykt-hastighet



Solens Yttemperatur
 $T_s \approx 6000\text{K}$

**Snöbolls-
jorden**

**Milanković-
cykler**

**Sol-
aktivitet**

Vindar

**Foramini-
ferer**

**Platt-
tektonik**

Stratigrafi

Moln

**Cykloner,
Orkaner,
Tyfoner**

**Marina
sediment**

Kaos

Nederbörd

Mitigation

**Coriolis-
effekt**

**Väder-
prognoser**

Adiabat